

Geração de imagens artificiais e quantização aplicadas a problemas de classificação

Gabriela Salvador Thumé

Orientador: Prof. Dr. Moacir Antonelli Ponti

Co-orientador: Prof. Dr. João do Espírito Santo Batista Neto

Instituto de Ciências Matemáticas e de Computação
Universidade de São Paulo

29 de abril de 2016



Conselho Nacional de Desenvolvimento
Científico e Tecnológico



Estrutura da Apresentação

1 Introdução

- Motivação
- Hipóteses
- Contribuições

2 Quantização de imagens

- Contextualização
- Método
- Experimentos

3 Geração de imagens artificiais

- Contextualização
- Método
- Experimentos

4 Conclusões

- Trabalhos futuros

5 Agradecimentos

6 Referências

Introdução

- ▶ Classificação de imagens;
- ▶ Extração de características;
- ▶ Algoritmos de aprendizado de máquina: modelo de representação;
- ▶ Generalização permite classificar novos exemplos;
- ▶ Características que não são suficientes para a diferenciação entre as classes;
- ▶ Encontrar as características que melhor discriminam as classes.

Introdução

- ▶ Classificação de imagens;
- ▶ Extração de características;
- ▶ Algoritmos de aprendizado de máquina: modelo de representação;
- ▶ Generalização permite classificar novos exemplos;
- ▶ Características que não são suficientes para a diferenciação entre as classes;
- ▶ Encontrar as características que melhor discriminam as classes.

Introdução

- ▶ Classificação de imagens;
- ▶ Extração de características;
- ▶ Algoritmos de aprendizado de máquina: modelo de representação;
- ▶ Generalização permite classificar novos exemplos;
- ▶ Características que não são suficientes para a diferenciação entre as classes;
- ▶ Encontrar as características que melhor discriminam as classes.

Introdução

- ▶ Classificação de imagens;
- ▶ Extração de características;
- ▶ Algoritmos de aprendizado de máquina: modelo de representação;
- ▶ Generalização permite classificar novos exemplos;
- ▶ Características que não são suficientes para a diferenciação entre as classes;
- ▶ Encontrar as características que melhor discriminam as classes.

Motivação

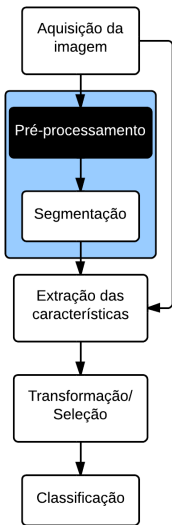


Figura : Etapas canônicas do reconhecimento de padrões.

Motivação

- ▶ Maior esforço ao operar no espaço de características já obtidas;
- ▶ Transformações do espaço ou sistemas complexos de classificação para lidar com as deficiências das características extraídas;
- ▶ Características que podem ser exploradas além dos métodos clássicos;
- ▶ Investigar métodos de processamento e preparação de imagens antes da extração.

Motivação - Características Latentes

- ▶ Justificado o uso de métodos de processamento e preparação de imagens antes da extração;
- ▶ Podem revelar características latentes, que possam melhor descrever certas classes, utilizando algoritmos sobre as imagens originais.

Motivação

- ▶ 98% de acurácia após pré-processamento e segmentação (Rocha et al., 2010);
- ▶ Quantização pode impactar a classificação (Kanan e Cottrell, 2012);
- ▶ Quantização permite obter vetores de características mais compactos e com maior capacidade de discriminação entre classes (Ponti et al., 2014);

Motivação - Desbalanceamento de classes

- ▶ Diferença entre o número de exemplos disponíveis;
- ▶ Imagens representam eventos importantes mas menos frequentes;
- ▶ Obstáculo, métodos de transformação do espaço e de classificação assumem que a base está balanceada;
- ▶ Foco: **geração de imagens artificiais a partir do processamento de características das imagens da classe minoritária.**



Figura : Imagem artificialmente gerada.

Hipóteses

Utilizar um número reduzido de cores

- ▶ Juntamente com um método de quantização apropriado;
- ▶ Antes da extração de características;
- ▶ *Pode permitir obter vetores de características mais compactos e com maior capacidade de discriminação entre classes.*

Geração de imagens artificiais

- ▶ Balancear as classes;
- ▶ Preparação para a extração de características;
- ▶ *Melhorar a acurácia, quando comparada à geração de exemplos artificiais no espaço de atributos.*

Contribuição geral

Investigar os métodos de pré-processamento para preparar uma coleção de imagens para a extração de características.

Observa-se o efeito da quantização de imagens e do balanceamento do número de instâncias de diferentes classes na classificação.

Contribuições específicas

- ▶ Demostrar que é possível obter vetores de características compactos e efetivos ao extrair imagens quantizadas;
 - ▶ Custo computacional baixo;
 - ▶ Reduzindo o tamanho do vetor após a quantização e posterior extração de características;
 - ▶ Redução do tempo de processamento para os métodos de descrição de textura.
- ▶ Demostrar que a geração de imagens artificiais pode contribuir com o balanceamento entre classes.
 - ▶ Melhorando o *F1-Score* resultante de algoritmos de classificação;
 - ▶ Comparando com a geração de exemplos artificiais no espaço de atributos (SMOTE) e à classificação da base original.

Contribuições específicas

- ▶ Demostrar que é possível obter vetores de características compactos e efetivos ao extrair imagens quantizadas;
 - ▶ Custo computacional baixo;
 - ▶ Reduzindo o tamanho do vetor após a quantização e posterior extração de características;
 - ▶ Redução do tempo de processamento para os métodos de descrição de textura.
- ▶ Demostrar que a geração de imagens artificiais pode contribuir com o balanceamento entre classes.
 - ▶ Melhorando o *F1-Score* resultante de algoritmos de classificação;
 - ▶ Comparando com a geração de exemplos artificiais no espaço de atributos (SMOTE) e à classificação da base original.

Contribuições em código e reproduzibilidade

- ▶ Código para a quantização:

<http://dx.doi.org/10.5281/zenodo.15932>

- ▶ Código da geração artificial:

<https://github.com/GabiThume/msc-src>

Estrutura da Apresentação

1 Introdução

- Motivação
- Hipóteses
- Contribuições

2 Quantização de imagens

- Contextualização
- Método
- Experimentos

3 Geração de imagens artificiais

- Contextualização
- Método
- Experimentos

4 Conclusões

- Trabalhos futuros

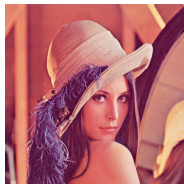
5 Agradecimentos

6 Referências

Quantização de imagens

- ▶ O pipeline de reconhecimento de imagens inclui a conversão de imagens coloridas em imagens com apenas um canal ($2^3 = 8$ bits, $2^8 = 256$ intensidades);
- ▶ Após, essas imagens quantizadas são processadas por métodos de extração de características;
- ▶ Essa pesquisa explorou essa etapa para produzir vetores mais compactos.
- ▶ Diferentes parâmetros de quantização combinados com quatro métodos de extração de cor e um de textura.

Pré-processamento de Imagens - Quantização



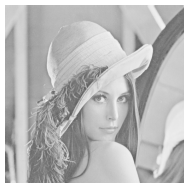
(a) Original



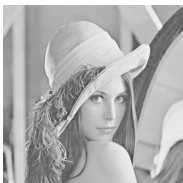
(b) Intensidade'



(c) Gleam



(d) Luminância'

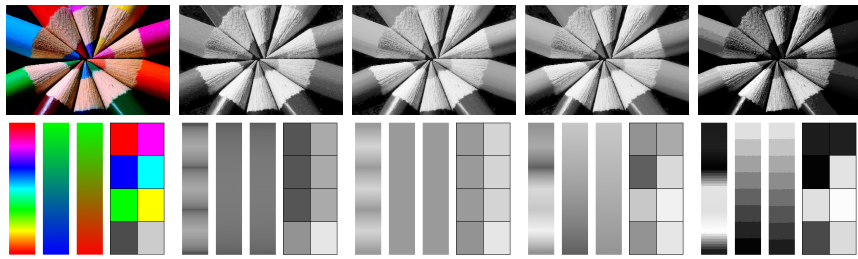


(e) Luma



(f) MSB

Quantização de imagens



(a) Original (b) Gleam (c) Intensidade' (d) Luminância' (e) MSB

Figura : Versões de um canal de cor com 232 intensidades únicas para o método (e) MSB e 184 intensidades para os demais métodos. Os métodos *Luminância'* e MSB conseguiram uma melhor discriminação entre cores.

Quantização de imagens

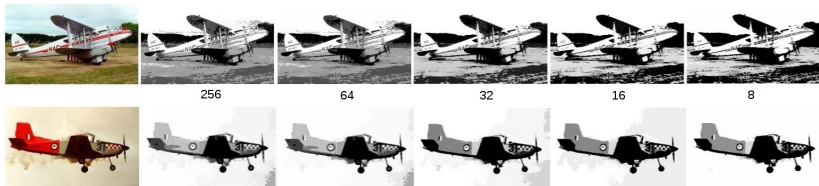


Figura : Imagens da base *Caltech101-600* com variações no parâmetro de cor utilizando o método MSB.

Experimentos

- ▶ Experimentos utilizando um método de extração de características seguido pela classificação (sem posterior seleção de características);
- ▶ Experimentos utilizando o vetor resultante da concatenação de todos os métodos de extração, seguido pela classificação com e sem a seleção de características.

Experimentos

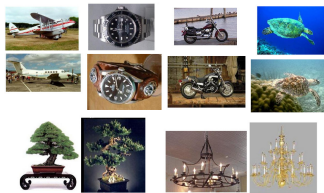


Figura : Fluxo das operações e os métodos utilizados nos experimentos.

Experimentos - Bases de Imagens



(a) Corel-1000



(b) Caltech101-600



(c) Produce

Figura : Bases de imagens utilizadas nos experimentos de quantização.

Experimentos — Protocolo

1. **Quantização:** *Intensidade', Gleam, Luminância'* e MSB.
2. **Extração de características**
 - ▶ *Auto Color Correlogram* (ACC): quatro distâncias $d = 1, 3, 5$ e 7 ;
 - ▶ *Border-Interior Classification* (BIC): vizinhança de quatro pixels;
 - ▶ *Color Coherence Vector* (CCV): *threshold* = 25;
 - ▶ Haralick-6: pixel vizinho à direita.
3. **Redução da dimensionalidade:** *Locality Preserving Projections* (LPP) com $k = 128, 64, 32$ e 16 dimensões e 10 vizinhos (empírico).
4. **Classificação:** *Support Vector Machines* (SVM) com *grid search* no conjunto de treinamento.

Experimentos — Resultados

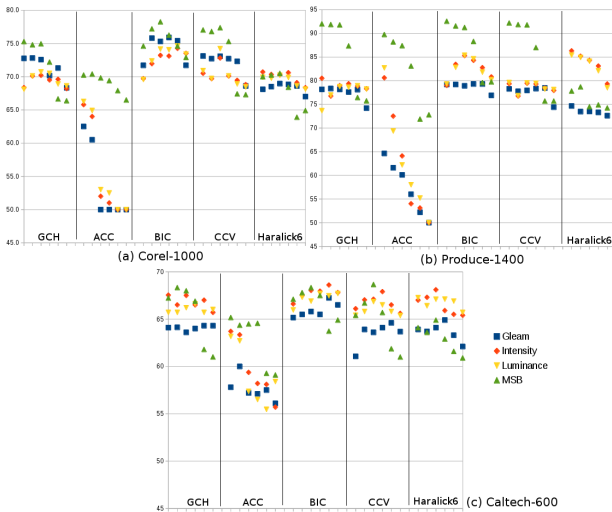


Figura : Acurácia utilizando 256, 128, 64, 32, 16 e 8 cores.

Experimentos — Resultados

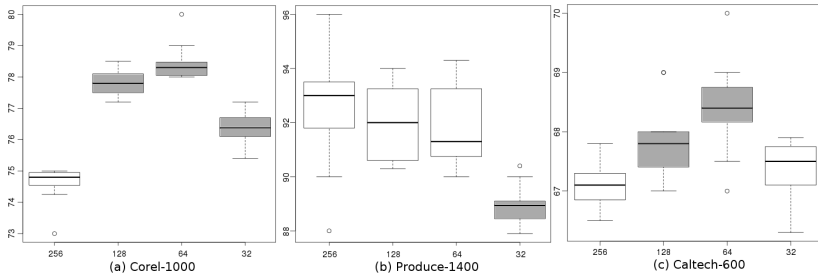


Figura : Acurácia média utilizando MSB e BIC considerando 256, 128, 64 e 32 cores. Os *boxplots* em cinza correspondem às significâncias estatísticas com $p\text{-value} < 0.01$ quando comparado à acurácia de 256 cores.

Experimentos — Resultados

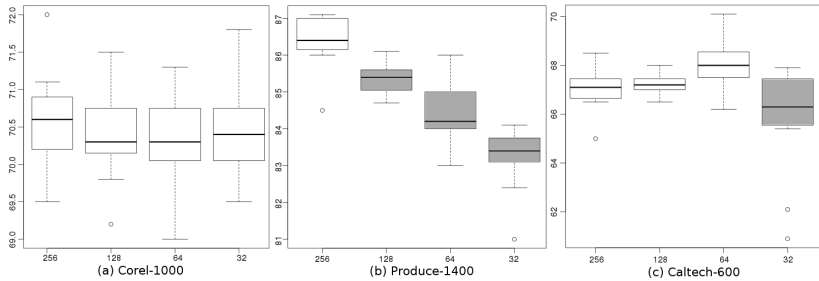


Figura : Acurácia média utilizando os métodos *Luminância'* e Haralick.

Experimentos — Resultados

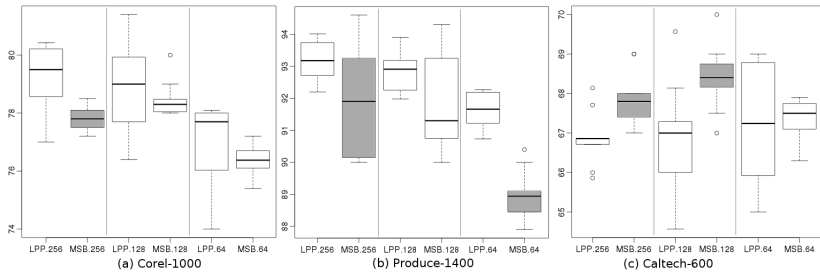


Figura : Acurácia para os método MSB (quantização), LPP (redução de dimensionalidade) e BIC (extração de características). A comparação do LPP versus MSB foi realizada com a mesma dimensionalidade.

Experimentos — Resultados

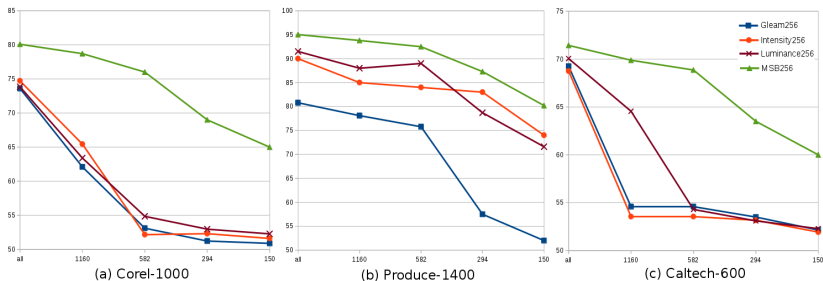


Figura : Acurácia para Gleam, Intensidade', Luminância' e MSB. O vetor de características resultante com $D = 2310$ sofreu então redução da dimensionalidade com o método LPP para $d = 1160, 582, 294$ e 150 .

Experimentos — Resultados

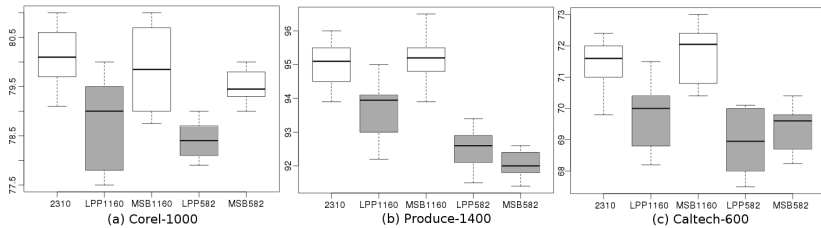


Figura : Comparação da acurácia com o uso da projeção LPP e o método MSB para quantização das imagens com o objetivo de redução de dimensionalidade.

Experimentos — Resultados

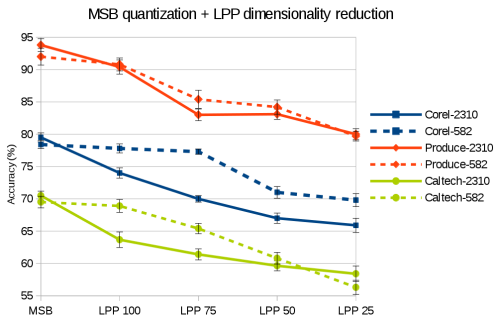


Figura : Resultados para a projeção do LPP sobre o espaço de características produzido pelo método de quantização MSB utilizando 256 ($d = 2310$) e 64 cores ($d = 582$).

Experimentos — Discussão

1. Aplicar a quantização na etapa de pré-processamento causa a redução da dimensionalidade do vetor de características beneficiando todas as etapas posteriores do pipeline;
2. Utilizar um número reduzido de cores pode reduzir significativamente a dimensionalidade, enquanto melhora ou mantém a classificação do sistema;
3. Ao comparar o uso da quantização com a utilização de métodos mais complexos para a redução da dimensionalidade, ele permite uma redução significante, enquanto normalmente preserva ou melhora a acurácia do sistema.

Conclusões

Estrutura da Apresentação

1 Introdução

- Motivação
- Hipóteses
- Contribuições

2 Quantização de imagens

- Contextualização
- Método
- Experimentos

3 Geração de imagens artificiais

- Contextualização
- Método
- Experimentos

4 Conclusões

- Trabalhos futuros

5 Agradecimentos

6 Referências

Desbalanceamento de classes

- ▶ Número desbalanceado de exemplos. Majoritárias x minoritárias.
- ▶ Abordagens:
 - ▶ *Modificar métodos de aprendizagem:* adicionar funções de custo na classificação;
 - ▶ *Pré-processamento ao reamostrar os dados:*
 - ▶ Aumentar a minoritária;
 - ▶ Diminuir a majoritária.

Desbalanceamento de classes - Subamostragem

- ▶ Diminuir o número de elementos do conjunto;
- ▶ Podem remover informações essenciais dos dados originais;
- ▶ Eliminar elementos distantes da fronteira de decisão;
- ▶ Normalmente apresentam resultados piores.

Desbalanceamento de classes - Sobreamostragem

- ▶ Aumentar o número de elementos;

SMOTE

- ▶ Multiplica a diferença entre o vetor de características de um elemento e do seu vizinho mais próximo por um número $0 \leq x \leq 1$;
- ▶ Adiciona ao vetor original, criando um novo elemento entre os dois vetores originais;
- ▶ Aprendido como exemplo da classe minoritária;
- ▶ Força uma região de decisão maior e mais geral;

Desbalanceamento de classes - Sobreamostragem

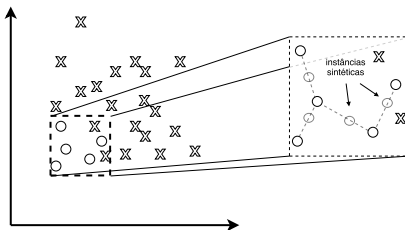
Algorithm 1: SMOTE: método para rebalancear classes

Entrada: Imagem colorida I em formato RGB

Saída: Exemplos sintéticos S

```
1  $N \leftarrow \text{vizinhos}(\text{classe minoritária});$ 
2 para cada exemplo da classe minoritária faça
3    $nn \leftarrow \text{vizinho aleatório de } N;$ 
4    $novo\_elemento \leftarrow \emptyset;$ 
5   para cada característica  $(x, y)$  do exemplo faça
6      $diferença \leftarrow nn(x, y) - exemplo(x, y);$ 
7      $gap \leftarrow \text{número aleatório entre } 0 \text{ e } 1;$ 
8      $novo\_elemento(x, y) \leftarrow exemplo(x, y) + gap * diferença;$ 
9   fim
10   $S \leftarrow S \cup novo\_elemento;$ 
11 fim
```

Desbalanceamento de classes - SMOTE



- ▶ Rebalancear ao gerar novos elementos, ao invés de replicá-los;
- ▶ Sobre os vetores de características previamente extraídos;
- ▶ **Diferentes estratégias para criar exemplos sintéticos podem melhorar a performance da classificação** (Chawla et al., 2002);
- ▶ Utilizado para comparação.

Geração de imagens artificiais

- ▶ Compensar a baixa disponibilidade de exemplos de uma determinada classe;
- ▶ Permitir a extração de informações antes não disponíveis nas imagens originais por meio da combinação ou perturbação das imagens de entrada.

Geração de imagens artificiais

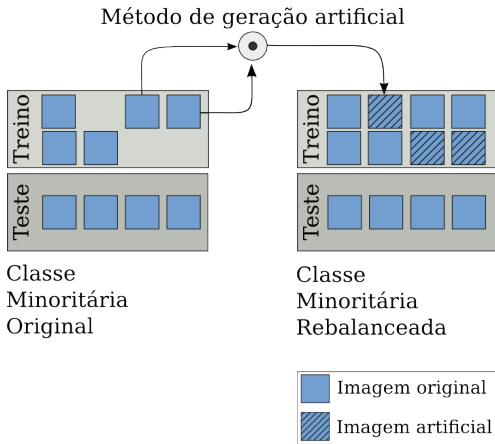


Figura : Geração artificial da classe minoritária para rebalancear a base de imagens.

Geração de imagens artificiais — Borramento



(a) Original



(b) Imagem artificial

Figura : A imagem (b) possui detalhes borradados, porém preservando as bordas.

Geração de imagens artificiais — Aguçamento



(a) Original



(b) Imagem artificial

Figura : A imagem resultante (b) apresenta saliência nas transições de intensidade.

Geração de imagens artificiais — Adição de ruído



(a) Original



(b) Imagem artificial

Figura : Regiões claras de (b) apresentam mais ruído que as regiões escuras.

Geração de imagens artificiais — SMOTE visual



(a) Original



(b) Original



(c) Imagem artificial

Figura : É possível notar a sobreposição de uma “sombra” da Figura (b) em (a).

Geração de imagens artificiais — Mistura ponderada



(a) Original



(b) Original



(c) Imagem artificial

Figura : A imagem (c) representa a mistura de (a) e (b).

Geração de imagens artificiais — Mistura limiarizada



(a) Original



(b) Original



(c) Imagem artificial

Figura : A imagem resultante (c) é uma composição do *foreground* da primeira imagem sobre o *background* da segunda.

Geração de imagens artificiais — Mistura saliente



(a) Original



(b) Original



(c) Imagem artificial

Figura : A imagem resultante (c) apresenta a região saliente de (b) sobreposta em (a).

Geração de imagens artificiais — Composição



Figura : Várias imagens, dispostas em um mosaico, formam a imagem resultante. Cada célula do mosaico sofre uma operação, sorteada no momento da geração da imagem.

Experimentos

- ▶ Comparar a classificação:
 - ▶ Base original;
 - ▶ Base realçada pelo método proposto.
- ▶ Comparar os métodos:
 - ▶ Geração artificial;
 - ▶ Técnicas de sobreamostragem disponíveis na literatura, como o SMOTE.

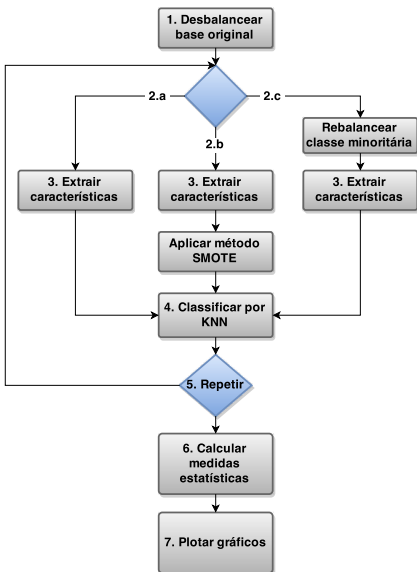


Figura : Fluxo de operações para obtenção dos resultados do rebalanceamento de classes.

Experimentos

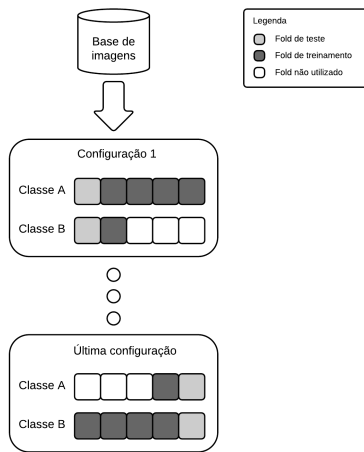


Figura : Ilustração de como os experimentos de geração de imagens artificiais foram realizados.

Experimento: duas classes discriminadas



(a) Elephant



(b) Horse

Figura : Originalmente da base de imagens Corel-1000, a principal característica dessas imagens é a diferença de cores, contendo pequeno grau de sobreposição.

Protocolo

- 1. Imagens originais:** classes *Horse* e *Elephant* com 100 imagens cada;
- 2. Desbalanceamento:** para o sub-experimento de visualização, cada classe foi dividida em 50% para treino e 50% para teste, de maneira aleatória. Após, a classe *Horse* sofreu remoção de 50% do seu conjunto de treino. Já para a análise estatística, todas as 40 configurações de *folds* com $k = 5$ foram realizadas;

Protocolo

- 1. Método para geração artificial:** para a visualização do espaço de características foi utilizado o método de *mistura*. Para a análise dos *F1-Scores*, todas as gerações foram testadas;
- 2. Conversão em escala de cinza:** *Intensidade'* para a visualização e todos os métodos para a análise estatística;
- 3. Extração de características:** BIC para a visualização e todos os métodos para a análise estatística;
- 4. Classificação:** KNN com $K = 1$;
- 5. Projeção multidimensional para visualização:** projetados os dois componentes principais encontrados ao aplicar PCA nos vetores de características.

Descrição do Experimento



(a) Original



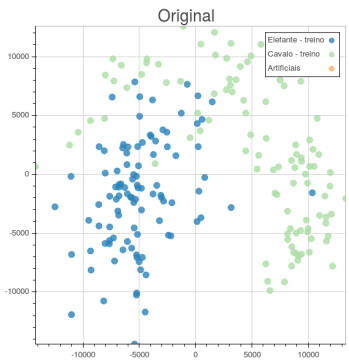
(b) Original



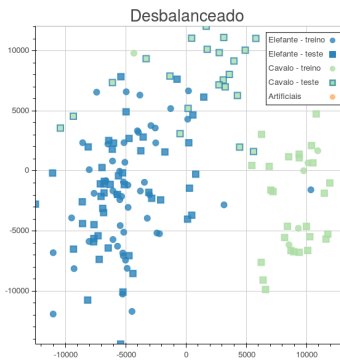
(c) Imagem artificial

Figura : Geração artificial de imagens com o método de *mistura* para as classes *Elephant* e *Horse* da base Corel-1000. A imagem resultante (c) é composta pela mistura de (a) e (b).

Experimento



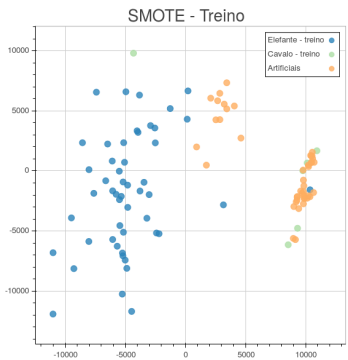
(a) Original



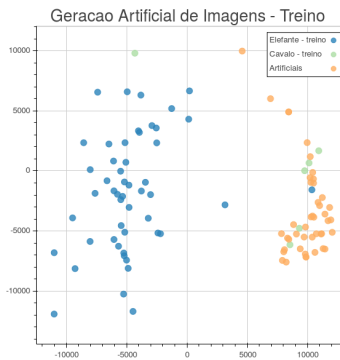
(b) Desbalanceado

Figura : Projeção dos dois componentes principais obtidos com o PCA. À direita, as mesmas classes após a remoção de 50% do treino da classe Horse.

Experimento



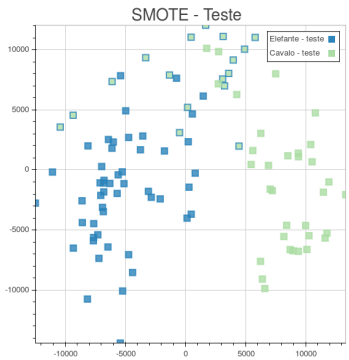
(a) SMOTE



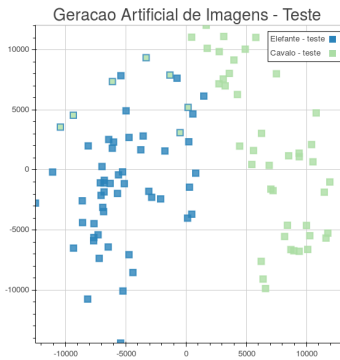
(b) Geração artificial de imagens

Figura : Comparação dos novos exemplos de treinamento da geração com SMOTE e no campo visual (em laranja).

Experimento



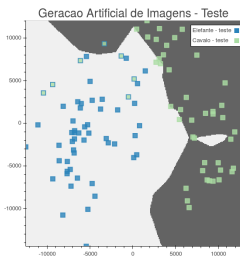
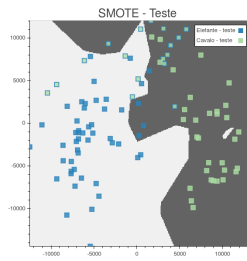
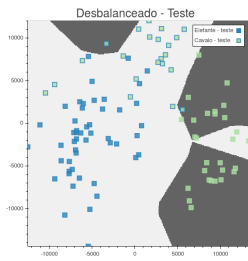
(a) Smote



(b) Geração artificial

Figura : A cor da borda dos marcadores representa a classe predita pelo classificador K-NN com $K = 1$ após o treinamento realizado com as bases rebalanceadas.

Experimento



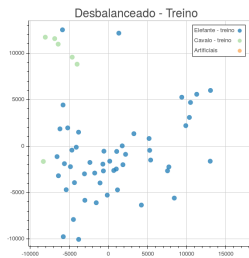
(a) Desbalanceado

(b) Smote

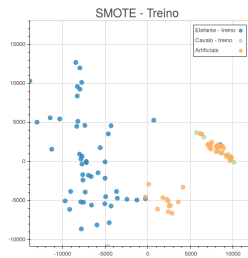
(c) Geração artificial

Figura : Região de decisão com K-NN ($K = 1$). A classe minoritária apresenta-se melhor representada. Além disso, o SMOTE ocasionou uma certa invasão do espaço de características da classe majoritária.

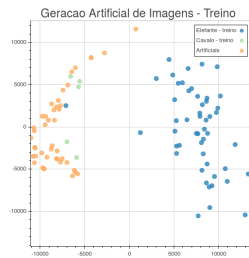
Experimento



(a) Desbalanceado



(b) Smote



(c) Geração artificial

Figura : Melhores subespaços encontrados. A geração de imagens artificiais proporciona a criação de um subespaço que melhor discretiza as classes, quando comparado com SMOTE ou com a base desbalanceada.

Experimento

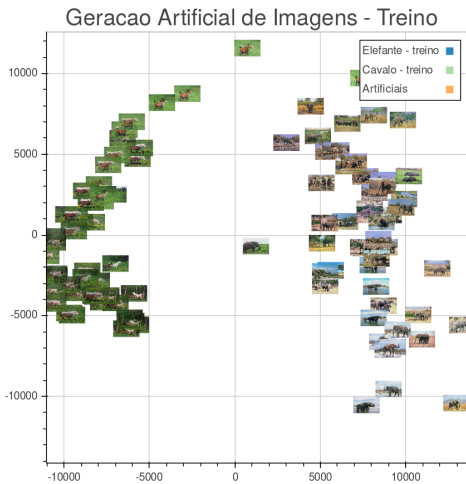


Figura : Impacto do método de extração de características na separação entre classes.

Experimento

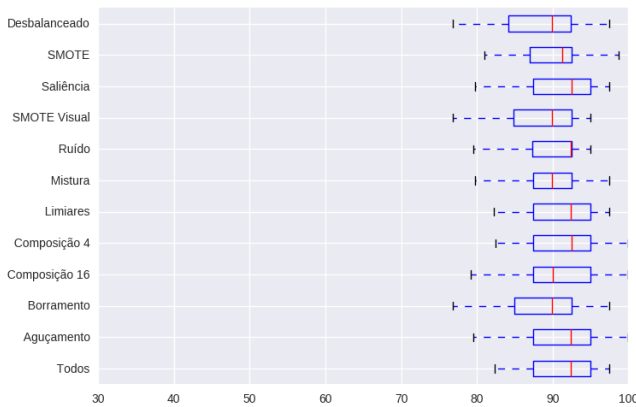


Figura : Conversão em escala de cinza com *Gleam* e ACC como método de extração de características. Nota-se que o método de geração baseado em Composição 4 obteve maior valor de *F1-Score*.

Experimento

Tabela : A geração com *Composição 4* obteve maior valor de *F1-Score*.

| Gleam & ACC | Média | Desvio Padrão |
|---------------|------------------|---------------|
| Todos | 91.090913 | 4.559066 |
| Aguçamento | 91.002678 | 4.907016 |
| Borramento | 89.394500 | 5.103498 |
| Composição 16 | 90.934305 | 4.399334 |
| Composição 4 | 91.773528 | 4.909852 |
| Limiares | 90.893133 | 5.285833 |
| Mistura | 90.177055 | 4.409787 |
| Ruído | 89.337770 | 5.169757 |
| SMOTE Visual | 88.616535 | 5.567976 |
| Saliência | 91.282655 | 4.230281 |
| SMOTE | 90.173808 | 4.566863 |
| Desbalanceado | 88.258567 | 5.538461 |

Experimento



(a) Imagem gerada

Figura : A imagem gerada apresenta uma *composição* de quatro imagens da classe *Elephant*.

Experimento

Teste *post-hoc* HSD de Tukey

- ▶ Não há diferença estatística entre a base desbalanceada e o SMOTE ($p\text{-value} = 0.2073$)
- ▶ Significância entre o desbalanceamento e a geração artificial ($p\text{-value} = 0.0062$).
- ▶ O melhor método para rebalancear essas classes é a geração artificial utilizando o método de *misturas* de duas imagens.

Ranking dos métodos de rebalanceamento

Tabela : Resultados acumulados de todos os experimentos.

| Cenários de duas classes | Cenário Multiclasses | Todos |
|--------------------------|----------------------|--------------------|
| Aguçamento (16) | SMOTE (13) | Limiares (35) |
| Limiares (17) | Mistura (14) | Mistura (39) |
| Saliência (22) | Limiares (18) | SMOTE (42) |
| Todos (25) | Todos (22) | Aguçamento (43) |
| Mistura (25) | Saliência (24) | Saliência (46) |
| Composição 4 (29) | Aguçamento (27) | Todos (47) |
| SMOTE (29) | Composição 4 (28) | Composição 4 (57) |
| Composição 16 (37) | Ruído (28) | Composição 16 (69) |
| Borramento (44) | Borramento (29) | Borramento (73) |
| Ruído (47) | Composição 16 (32) | Ruído (75) |
| SMOTE Visual (47) | Desbalanceado (34) | Desbalanceado (86) |
| Desbalanceado (52) | SMOTE Visual (42) | SMOTE Visual (89) |

F1-Scores de cada método

Tabela : Média ordenada pela coluna de todos os experimentos.

| Métodos | Cenários de duas classes | Cenário Multiclasses | Todos |
|---------------|--------------------------|----------------------|-----------|
| Aguçamento | 84,473575 | 74,817654 | 80,182055 |
| Limiares | 84,332408 | 74,472474 | 79,950215 |
| Saliência | 84,172238 | 74,248645 | 79,761752 |
| Composição 4 | 83,123738 | 74,667785 | 79,365537 |
| Composição 16 | 82,977850 | 74,581912 | 79,246322 |
| Mistura | 83,124582 | 74,045887 | 79,089606 |
| Borramento | 82,164793 | 74,555320 | 78,782805 |
| Desbalanceado | 81,314335 | 74,551506 | 78,308633 |
| Todos | 82,358089 | 71,943914 | 77,729567 |
| Ruído | 81,179247 | 72,609639 | 77,370532 |
| SMOTE | 79,085501 | 73,329079 | 76,527091 |
| SMOTE Visual | 78,811666 | 70,439604 | 75,090749 |

Resultados — Fine tuning

Resultados — Rede de Convolução

Conclusões

Estrutura da Apresentação

1 Introdução

- Motivação
- Hipóteses
- Contribuições

2 Quantização de imagens

- Contextualização
- Método
- Experimentos

3 Geração de imagens artificiais

- Contextualização
- Método
- Experimentos

4 Conclusões

- Trabalhos futuros

5 Agradecimentos

6 Referências

Conclusões gerais

Artigo publicado

Ponti, M.; Nazaré, T; Thumé, G. **Image quantization as a dimensionality reduction procedure in color and texture feature extraction**, submitted to Neurocomputing, 2014.

Neurocomputing 173 (2016) 385–396

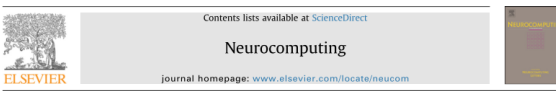


Image quantization as a dimensionality reduction procedure in color and texture feature extraction



Moacir Ponti*, Tiago S. Nazaré, Gabriela S. Thumé

Instituto de Ciências Matemáticas e de Computação Universidade de São Paulo São Carlos, 13566-590 SP Brazil

ARTICLE INFO

Article history:
Received 2 July 2014
Received in revised form
9 April 2015
Accepted 16 April 2015
Available online 1 September 2015

Keywords:
Image quantization
LPP
Compact features extraction

ABSTRACT

The image-based visual recognition pipeline includes a step that converts color images into images with a single channel, obtaining a color-quantized image that can be processed by feature extraction methods. In this paper we explore this step in order to produce compact features that can be used in retrieval and classification systems. We show that different quantization methods produce very different results in terms of accuracy. While compared with more complex methods, this procedure allows the feature extraction in order to achieve a significant dimensionality reduction, while preserving or improving system accuracy. The results indicate that quantization simplify images before feature extraction and dimensionality reduction, producing more compact vectors and reducing system complexity.

© 2015 Elsevier B.V. All rights reserved.

Trabalhos futuros

- ▶ Analisar a memória associativa aprendida com uma máquina de Boltzmann restrita.
 - ▶ Escolher para qual imagem original utilizar, ao invés do método aleatório utilizado nos resultados preliminares;
 - ▶ Verificação da relevância das imagens geradas.

Trabalhos futuros

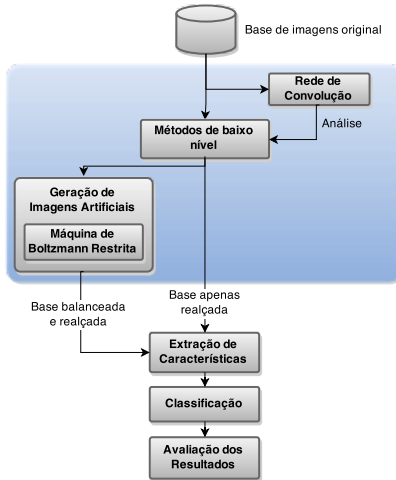


Figura : Trabalhos futuros.

Estrutura da Apresentação

1 Introdução

- Motivação
- Hipóteses
- Contribuições

2 Quantização de imagens

- Contextualização
- Método
- Experimentos

3 Geração de imagens artificiais

- Contextualização
- Método
- Experimentos

4 Conclusões

- Trabalhos futuros

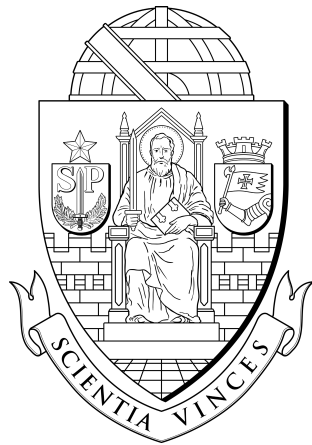
5 Agradecimentos

6 Referências

Agradecimentos

Moacir Antonelli Ponti

João do Espírito Santo Batista Neto



Estrutura da Apresentação

1 Introdução

- Motivação
- Hipóteses
- Contribuições

2 Quantização de imagens

- Contextualização
- Método
- Experimentos

3 Geração de imagens artificiais

- Contextualização
- Método
- Experimentos

4 Conclusões

- Trabalhos futuros

5 Agradecimentos

6 Referências

Referências I

- [1] GE E Batista, RC C Prati, and MC C Monard. A study of the behavior of several methods for balancing machine learning training data. *ACM Sigkdd Explorations Newsletter*, 6(1):20–29, 2004.
- [2] Yoshua Bengio. Learning Deep Architectures for AI. *Foundations and Trends in Machine Learning*, 2(1):1–127, January 2009.
- [3] Yoshua Bengio, Ian J. Goodfellow, and Aaron Courville. Deep learning. Book in preparation for MIT Press, 2014.
- [4] NV V Chawla, LO O Hall, and KW W Bowyer. SMOTE: Synthetic Minority Over-sampling Technique. *Journal of Artificial Intelligence Research*, 16:321–357, 2002.
- [5] R. De Maesschalck, D. Jouan-Rimbaud, and D.L. Massart. The Mahalanobis distance. *Chemometrics and Intelligent Laboratory Systems*, 50(1):1–18, January 2000.
- [6] Asja Fischer and Christian Igel. Training restricted Boltzmann machines: An introduction. *Pattern Recognition*, 47(1):25–39, January 2014.
- [7] Rafael C Gonzalez and Richard E Woods. *Digital Image Processing*. Prentice-Hall, 3 edition, 2007.
- [8] Robert M. Haralick, K. Shanmugam, and Its'Hak Dinstein. Textural Features for Image Classification. *IEEE Transactions on Systems, Man, and Cybernetics*, 3(6):610–621, November 1973.
- [9] Jing Huang, S Ravi Kumar, Mandar Mitra, Wei-Jing Zhu, and Ramin Zabih. Image indexing using color correlograms. In *Computer Society Conference on Computer Vision and Pattern Recognition*, pages 762–768. IEEE, 1997.
- [10] Nathalie Japkowicz and Shaju Stephen. The class imbalance problem : A systematic study. *Intelligent data analysis*, 6(5):429–449, 2002.

Referências II

- [11] Christopher Kanan and Garrison W Cottrell. Color-to-grayscale: does the method matter in image recognition? *PloS one*, 7(1):e29740, January 2012.
- [12] Yann LeCun, Koray Kavukcuoglu, and Clement Farabet. Convolutional networks and applications in vision. In *International Symposium on Circuits and Systems*, pages 253–256. IEEE, May 2010.
- [13] Aravindh Mahendran and Andrea Vedaldi. Understanding deep image representations by inverting them. arXiv preprint arXiv:1412.0035, 2014.
- [14] Michael A. Nielsen. *Neural Networks and Deep Learning*. Determination Press, 2015.
- [15] Greg Pass, Ramin Zabih, and Justin Miller. Comparing images using color coherence vectors. In *Proceedings of the fourth ACM international conference on Multimedia*, pages 65–73, New York, USA, February 1996. ACM Press.
- [16] CT T Picon, Isadora Rossi, and MP Ponti Ponti Jr. Análise da classificação de imagens por descritores de cor utilizando várias resoluções. In *Workshop of Undergraduate Works*. SIBGRAPI, 2011.
- [17] Moacir Ponti, Tiago Nazaré, and Gabriela Thumé. Image quantization as a dimensionality reduction procedure in color and texture feature extraction. Submitted to Neurocomputing, 2014.
- [18] Anderson Rocha, Daniel C. Hauagge, Jacques Wainer, and Siome Goldenstein. Automatic fruit and vegetable classification from images. *Computers and Electronics in Agriculture*, 70(1):96–104, January 2010.
- [19] Karen Simonyan and Andrew Zisserman. Very Deep Convolutional Networks for Large-Scale Image Recognition. September 2014.
- [20] Renato O. Stehling, Mario A. Nascimento, and Alexandre X. Falcão. A compact and efficient image retrieval approach based on border/interior pixel classification. In *Proceedings of the eleventh international conference on Information and knowledge management*, pages 102–109, New York, USA, November 2002. ACM Press.
- [21] Matthew D Zeiler and Rob Fergus. Visualizing and Understanding Convolutional Networks. *Computer Vision–ECCV 2014*, pages 818–833, November 2013.

Geração de imagens artificiais e quantização aplicadas a problemas de classificação

Gabriela Salvador Thumé

Orientador: Prof. Dr. Moacir Antonelli Ponti

Co-orientador: Prof. Dr. João do Espírito Santo Batista Neto

Instituto de Ciências Matemáticas e de Computação
Universidade de São Paulo

29 de abril de 2016

